



УДК 547.963.32.07.577.113.4

H-ФОСФОНАТНЫЙ СИНТЕЗ ОЛИГОРИБОНУКЛЕОТИДОВ, СОДЕРЖАЩИХ МОДИФИЦИРОВАННЫЕ ОСНОВАНИЯ. I*. ФОТОАКТИВИРУЕМЫЕ ПРОИЗВОДНЫЕ ОЛИГОРИБОНУКЛЕОТИДОВ С ПЕРФТОРАРИЛАЗИДНЫМИ ГРУППАМИ В ГЕТЕРОЦИКЛИЧЕСКИХ ОСНОВАНИЯХ

© 1999 г. М. Н. Репкова, Т. М. Иванова, Н. И. Комарова,
М. И. Мещанинова*, М. А. Кузнецова*, А. Г. Веньяминова[#]

Новосибирский институт биоорганической химии СО РАН, 630090, Новосибирск, просп. Акад. Лаврентьева, 8;

* Новосибирский государственный университет

Поступила в редакцию 25.12.98 г. Принята к печати 25.03.99 г.

Предложен вариант твердофазного *H*-фосфонатного синтеза олигорибонуклеотидов, содержащих атом брома или этилендиаминовый линкер в C5- или C8- положениях уридина или аденоцина. Описан синтез новых фотоактивируемых производных олигорибонуклеотидов, содержащих *n*-азидотетрафторбензоильную группу, введенную через диаминолинкер в уридин или аденоцин.

Ключевые слова: уридин C5-модифицированный; аденоцин C8-модифицированный; аминолинкер; фотоактивные олигорибонуклеотиды; *H*-фосфонатный метод.

ВВЕДЕНИЕ

Фотоактивируемые производные олигонуклеотидов широко используются при изучении НК-НК- и НК-белковых взаимодействий, играющих ключевую роль в целом ряде биологических процессов [2–4]. В последние годы в качестве такого рода аналогов НК часто используют конъюгаты олигонуклеотидов и перфторарилазидов, отличающиеся простотой синтеза, высоким квантовым выходом фотодиссоциации и эффективностью в реакциях модификации биополимеров. Показано, что олигодезоксирибонуклеотиды, несущие остатки перфторарилазидов в различных положениях цепи, способны модифицировать ДНК, РНК и взаимодействующие с ними белки [5–14]. Синтезированные нами 5'-перфторарилазидные производные олигорибонуклеотидов были использованы в качестве аналогов мРНК для фотоаффинной модификации компонентов рибосом человека [15–19].

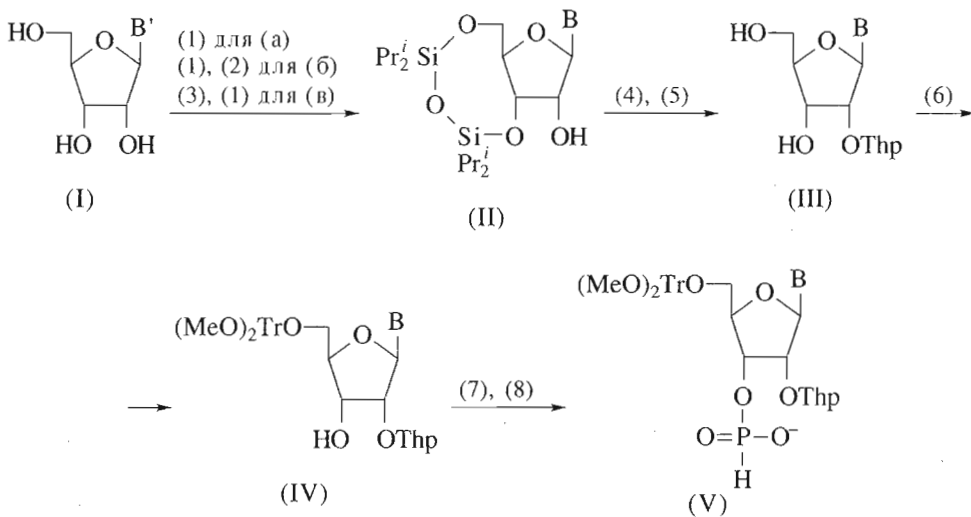
Фотоактивируемые группировки могут быть введены в олигонуклеотиды как по концевым

фосфатам, так и в гетероциклические основания. Химические методы синтеза олигонуклеотидов, модифицированных по гетероциклическому основанию, позволяют регламентировать количество введенных модифицированных нуклеозидов, их тип и расположение в цепи, оставляя при этом концевые гидроксильные свободными для химических и энзиматических манипуляций. Разработанный нами ранее подход к функционализации гетероциклических оснований олигорибонуклеотидов основан на использовании в ходе твердофазного олигонуклеотидного синтеза модифицированного мономерного синтона, содержащего защищенную алифатическую аминогруппу. Удаление этой защитной группы происходило одновременно со стандартным деблокированием олигонуклеотидов [15, 16]. В данной работе для этих целей использован постсинтетический подход [20, 21], основанный на введении в олигомер модифицированного нуклеотида, содержащего в своем гетероцикле “уходящую” группу, стабильную в условиях цикла синтетических операций и заменимую впоследствии на функциональный линкер. В основном для синтеза модифицированных по гетероциклу олигонуклеотидов используют твердофазный фосфитамидный метод [20–26]. Учитывая простоту и экономичность синтетического цикла *H*-фосфонатного метода, мы использовали этот подход для синтеза модифицированных олигорибонуклеотидов, выбрав при этом в

* Краткое сообщение см. [1].

Сокращения: Ibu – изобутирил; Thp – тетрагидропиранил; PivCl – пивалоилхлорид; Py – пиридин; EDA – этилендиамин; ОФХ – обращенно-фазовая хроматография; МПС – макропористое стекло с определенным размером пор; НК – нуклеиновые кислоты. Остальные сокращения соответствуют общепринятым.

[#] Автор для переписки (тел.: (3832) 39-62-75; факс: 33-36-77; e-mail: ven@niboch.nsc.ru).



$B' = 5BrUra$ (a); $8BrAde$ (6); $8BrGua$ (b);
 $B = 5BrUra$ (a); $8Br6BzAde$ (6); $8Br2IbuGua$ (b)

(1) $\text{Pr}_2^i(\text{Cl})\text{SiOSi}(\text{Cl})\text{Pr}_2^i$; (2) BzCl; (3) IbuCl; (4) 3,4-дигидро-2*H*-пиран; (5) $(\text{C}_2\text{H}_5)_4\text{NBr}/\text{KF}$; (6) $(\text{MeO})_2\text{TrCl}$; (7) Салицилхлорфосфит; (8) H_2O

Схема 1.

качестве “уходящей” группы атом брома в C5- или C8-положении нуклеозида.

РЕЗУЛЬТАТЫ И ОБСУЖДЕНИЕ

Бромсодержащие олигорибонуклеотиды были синтезированы с использованием разработанного нами ранее варианта *H*-фосфонатного метода [27]. Необходимые при этом модифицированные синтоны (Va)–(Vb) – новые представители класса рибонуклеозид-3'-*H*-фосфонатов – были

получены из соответствующих бромзамещенных нуклеозидов (Ia)–(Ib) по схеме 1.

Для селективного введения $2'-O$ -тетрагидропириазинильной группы мы использовали временную защитную $3',5'-O$ -(тетраизопропилдисилоксан-1,3-диил)-группировку [28]. Синтез бромсодержащих нуклеозид- $3'-H$ -фосфонатов (Va)–(Vb) был выполнен с помощью монофункционального фосфитилирующего реагента салицилхлорfosfита по аналогии с описанным ранее синтезом

Таблица 1. Протокол операций твердофазного *H*-фосфонатного синтеза модифицированных олигорибонуклеотидов в “ручном” варианте

Номер	Операция	Реагент, растворитель	Время, объем
Цикл присоединения одного нуклеотидного звена			
1.	Деблокирование	1% $\text{CHCl}_2\text{CO}_2\text{H}$ в CH_2Cl_2	0.5 мл, 2 мин
2.	Промывка	CH_3CN	3×0.5 мл
3.	Дозирование мономеров и конд. агента	0.05 M раствор нуклеозид- <i>H</i> -фосфоната и 0.25 M раствор PivCl в CH_3CN : Py (1 : 1)	по 150 мкл каждого раствора
4.	Конденсация Повторение операций № 2, 3, 4		2 мин
5.	Промывка	CH_3CN	3×0.5 мл
Окончание синтеза			
1.	Деблокирование	1% $\text{CHCl}_2\text{CO}_2\text{H}$ в CH_2Cl_2	0.5 мл, 2 мин
2.	Промывка	CH_3CN	3×0.5 мл
3.	Окисление	0.2 M I_2 в Py- H_2O (98 : 2)	20 мин
4.	Промывка	CH_3CN	3×0.5 мл

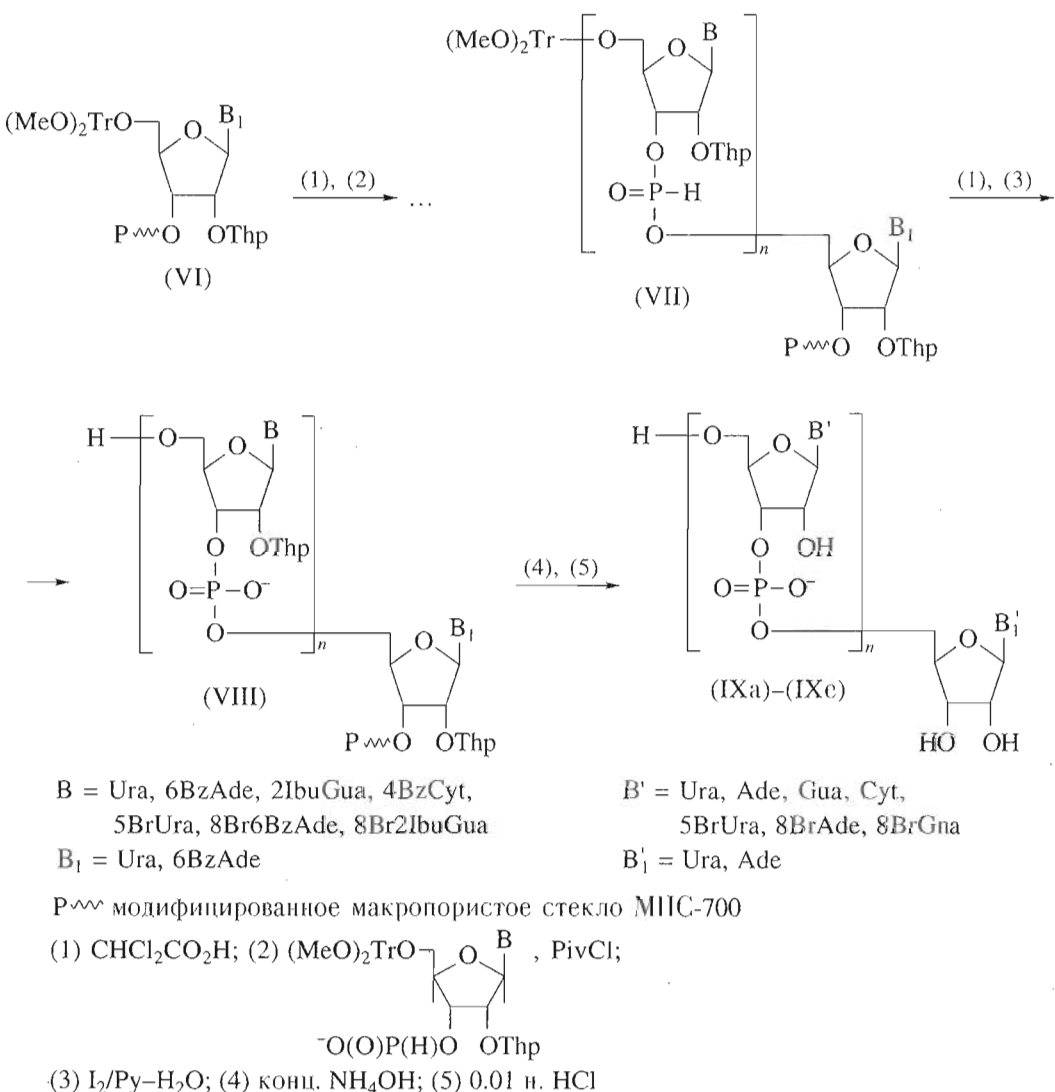


Схема 2.

немодифицированных защищенных рибонуклеозид-3'-Н-фосфонатов [29]. Структура всех промежуточных и конечных продуктов при этом была подтверждена элементным анализом и данными УФ-, ^1H - и ^{31}P -ЯМР-спектров.

Синтезированные модифицированные мономерные синтоны (Va)–(Vb) были использованы на соответствующих стадиях твердофазного синтеза бромсодержащих олигорибонуклеотидов наряду со стандартными мономерами. Синтез проводили в соответствии с приведенным в табл. 1 протоколом операций по схеме 2.

Критической стадией при выделении бромсодержащих олигомеров является обработка конц. NH_4OH , поскольку в ряде работ [напр., 22–24] отмечено, что при повышенной температуре или при продолжительном воздействии возможно нуклеофильное замещение брома на аминогруппу. Мы

исследовали степень сохранности бромсодержащих рибонуклеозидов (5-бромуридина (Ia), 8-бромаденозина (Ib) и 8-бромгуанозина (Iv)) при выдерживании их в конц. NH_4OH 16 ч при 56°C и 3 сут при комнатной температуре. По данным аналитической ОФХ (рис. 1) при повышенной температуре 8-бромгуанозин (Iv) оставался неизменным, в то время как в случае нуклеозидов (Ia) и (Ib) наблюдалось образование до 7% 5-аминоуридина и около 30% 8-аминоаденозина, соответственно, причем в последнем случае отмечено также образование неидентифицированных продуктов (до 60%)*; при комнатной температуре происходило образование около 1% 5-аминоуридина и 3% 8-аминоаденозина. Для получения количественных данных в этих модельных экспериментах использовали спе-

* В сообщении [1] по вине авторов приведены ошибочные данные о стабильности 8-бромаденозина в данных условиях.

циально синтезированные аминосодержащие нуклеозиды-маркеры. Учитывая, что при обработке конц. NH_4OH в течение 3 сут при комнатной температуре происходит также полное удаление олигомера с полимерного носителя и деблокирование гетероциклических оснований, мы использовали данные условия при выделении бромсодержащих олигорибонуклеотидов. Снятие 2'-*O*-тетрагидропиридинильных групп и хроматографическое выделение незащищенных бромсодержащих олигорибонуклеотидов проводили в стандартных условиях [27]. Их нуклеотидный состав подтверждался с помощью ферментативного гидролиза с последующим количественным анализом гидролизатов ОФХ. Выходы и характеристики синтезированных бромсодержащих аналогов РНК (IXa)–(IXe) приведены в табл. 2.

Бромсодержащие олигорибонуклеотиды могут быть использованы при проведении фотоиндуцируемых РНК-белковых "сшивок", при рентгеноструктурном анализе и т.д. [4, 30], а также могут служить предшественниками при синтезе олигорибонуклеотидов с различными алифатическими аминолинкерами, вводимыми в гетероциклические основания. В частности, этот подход был реализован нами на примере синтеза олигорибонуклеотидов, содержащих в C5- или C8-положениях уридуна или аденоцина, соответственно, этилендиаминовые линкеры.

В предварительных экспериментах на модельных бромсодержащих нуклеозидах (Ia) и (Ib) было показано, что при действии на них смеси EDA-этанол (1 : 1) в случае 5-бромуридуна (Ia) атом брома заменяется на остаток этилендиамина за 4 ч при 37°C, а в случае 8-бромаденоцина (Ib) – за 2 ч при 56°C. Дополнительная обработка этих реакционных смесей конц. NH_4OH при комнатной температуре не вносит существенных изменений в эту картину. N^4 -Бензоилцитидин в отличие от N^6 -бензоиладеноцина и N^2 -изобутирилгуанозина в используемых нами условиях обработки EDA подвергается переаминированию с образованием до 40% N^4 -(2-аминоэтил)цитидина. Цитидин в этих условиях остается неизменным.

С учетом полученных данных нами разработана соответствующая модификация твердофазного Н-фосфонатного синтеза олигорибонуклеотидов (схема 3). Необходимо отметить важность использования 2'-*O*-тетрагидропиридинильной защитной группы, позволяющей избежать нежелательного расщепления олигорибонуклеотидов под воздействием алифатических аминов при использовании 2'-*O*-щелочелабильных защитных групп.

Бромсодержащие защищенные олигорибонуклеотиды (VIII), присоединенные к полимерному носителю, обрабатывали вначале смесью EDA-этанол (1 : 1), а затем избытком конц. NH_4OH в тек-

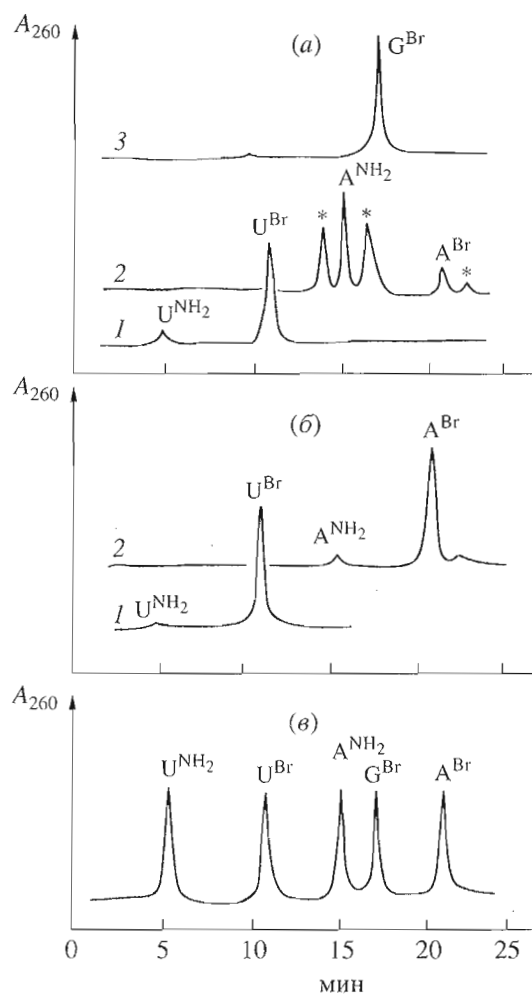


Рис. 1. Аналитическая ОФХ реакционных смесей при выдерживании 5-бромуридуна (Ia) (1), 8-бромаденоцина (Ib) (2), 8-бромгуанозина (Iв) (3) в конц. NH_4OH : (a) – 16 ч, 56°C (звездочкой отмечены – неидентифицированные продукты); (b) – 3 сут, комнатная температура; (c) – модифицированные нуклеозиды-маркеры (условия хроматографии см. "Эксперимент. часть").

чение 3 сут при комнатной температуре. После нейтрализации и обессоливания 2'-*O*-тетрагидропиридинильные группы удаляли и выделяли целевые олигорибонуклеотиды (Xa)–(Xg) и (Xe) хроматографически. При синтезе цитидинсодержащего октарибонуклеотида $\text{CrA}^{LNH_2}\text{pGpCpUpCpCpA}$ (Xd) обработку EDA проводили после деблокирования оснований и удаления олигомера с полимерного носителя действием конц. NH_4OH .

Гомогенность полученных аминосодержащих олигорибонуклеотидов (Xa)–(Xe) составляла 95–98% по данным ОФХ; их выходы и характеристики приведены в табл. 2. Нуклеозидный состав бром- и аминосодержащих олигорибонуклеотидов подтверждался с помощью ферментативного гидролиза и последующего количественного анализа

Таблица 2. Выходы и характеристики олигорибонуклеотидов, содержащих атом брома или алифатическую аминогруппу в гетероциклическом основании ($L = -\text{NH}(\text{CH}_2)_2-$)

Олигорибонуклеотид	Выход*, %	Время удерживания, мин	ОФХ ^{2*}				Нуклеотидный состав ^{2*}	
			Спектральные соотношения при λ , нм					
			250 260	270 260	280 260	290 260		
U ^{Br} pApApA (IXa)	27	11.3	0.76	0.81	0.44	0.19	U ^{Br} : A = 1.0 : 2.9 ^{4*}	
U ^{LNH₂} pApApA (Xa)	8(a)	9.3	0.76	0.81	0.44	0.19	U ^{LNH₂} : A = 1.0 : 3.0 ^{4*}	
U ^{Br} pUpUpUpUpU (IXб)	13 ^{3*}	9.3	0.74	0.90	0.52	0.20	U ^{Br} : pU = 1.0 : 4.9 ^{5*}	
U ^{LNH₂} pUpUpUpUpU (Xб)	8(a)	8.7	0.74	0.90	0.52	0.20	U ^{LNH₂} : pU = 1.0 : 4.9 ^{5*}	
UpU ^{Br} pUpGpUpU (IXв)	10	9.9	0.84	0.87	0.53	0.21	U ^{Br} : U : G = 1.1 : 3.9 : 1.0 ^{4*}	
UpU ^{LNH₂} pUpGpUpU (Xв)	3(a)	8.5	0.91	0.80	0.46	0.20	U ^{LNH₂} : G : U = 0.8 : 1.0 : 3.7 ^{4*}	
A ^{Br} pUpGpUpUpU (IXг)	7	12.3	0.79	0.87	0.49	0.15	A ^{Br} : pU : pG = 1.3 : 4.4 : 1.0 ^{5*} A ^{Br} : U : G = 1.1 : 4.0 : 1.0 ^{4*}	
A ^{LNH₂} pUpGpUpUpU (Xг)	6(a)	11.4	0.79	0.87	0.49	0.15	A ^{LNH₂} : pU : pG = 1.3 : 4.4 : 1.0 ^{5*} A ^{LNH₂} : U : G = 1.1 : 4.0 : 1.0 ^{4*}	
CpA ^{Br} pGpCpUpCpCpA (IXд)	10	8.2	0.81	0.97	0.69	0.32	A ^{Br} : C : U : G : A = 0.8 : 3.8 : 1.1 : 1.0 : 1.2 ^{4*}	
CpA ^{LNH₂} pGpCpUpCpCpA (Xд)	7(б)	10.3	0.81	1.01	0.79	0.43	A ^{LNH₂} : C : U : G : A = 1.0 : 4.0 : 1.3 : 1.1 : 1.2 ^{4*}	
ApUpG ^{Br} pUpUpU (IXе)	17	10.0	0.77	0.84	0.43	0.15	pG ^{Br} : pU : A = 1.0 : 4.0 : 1.0 ^{5*}	
U ^{LNH₂} pUpUpGpUpU (Xе)	3(a)	7.9	0.88	0.84	0.50	0.22	U ^{LNH₂} : G : U = 0.8 : 1.0 : 4.1 ^{4*}	

* Приведен выход после двух хроматографий в расчете на первый нуклеозид, присоединенный к полимеру; условия (а) и (б) см. "Эксперимент. часть".

2* Условия см. "Эксперимент. часть".

3* Обработка конц. NH₄OH 1 ч, комнатная температура.

4* Нуклеаза P1 + щелочная фосфатаза *E. coli*; условия см. "Эксперимент. часть".

5* Нуклеаза P1; условия см. "Эксперимент. часть".

Таблица 3. Выходы и характеристики олигорибонуклеотидов, содержащих *n*-азидотетрафторбензамидиную группу в гетероциклическом основании (обозначения как в табл. 2)

Олигорибонуклеотид	Выход, %*	время удерживания, мин	ОФХ ^{2*}			
			250 260	270 260	280 260	290 260
U ^{LNR} pApApA (XIa)	82	11.0	0.90	0.70	0.31	0.14
U ^{LNR} pUpUpUpUpU (XIб)	60	10.8	0.87	0.76	0.35	0.14
UpU ^{LNR} pUpGpUpU (XIв)	71	9.8	0.90	0.80	0.44	0.11
A ^{LNR} pUpGpUpUpU (XIг)	79	13.0	0.80	0.90	0.61	0.29
CpA ^{LNR} pGpCpUpCpCpA (XIд)	56	13.2	0.86	0.94	0.68	0.31
U ^{LNR} pUpUpGpUpU (XIе)	56	9.5	0.87	0.83	0.51	0.23

* Приведен выход после обращенно-фазовой ВЭЖХ в расчете на исходный аминосодержащий олигонуклеотид.

2* Условия см. "Эксперимент. часть".

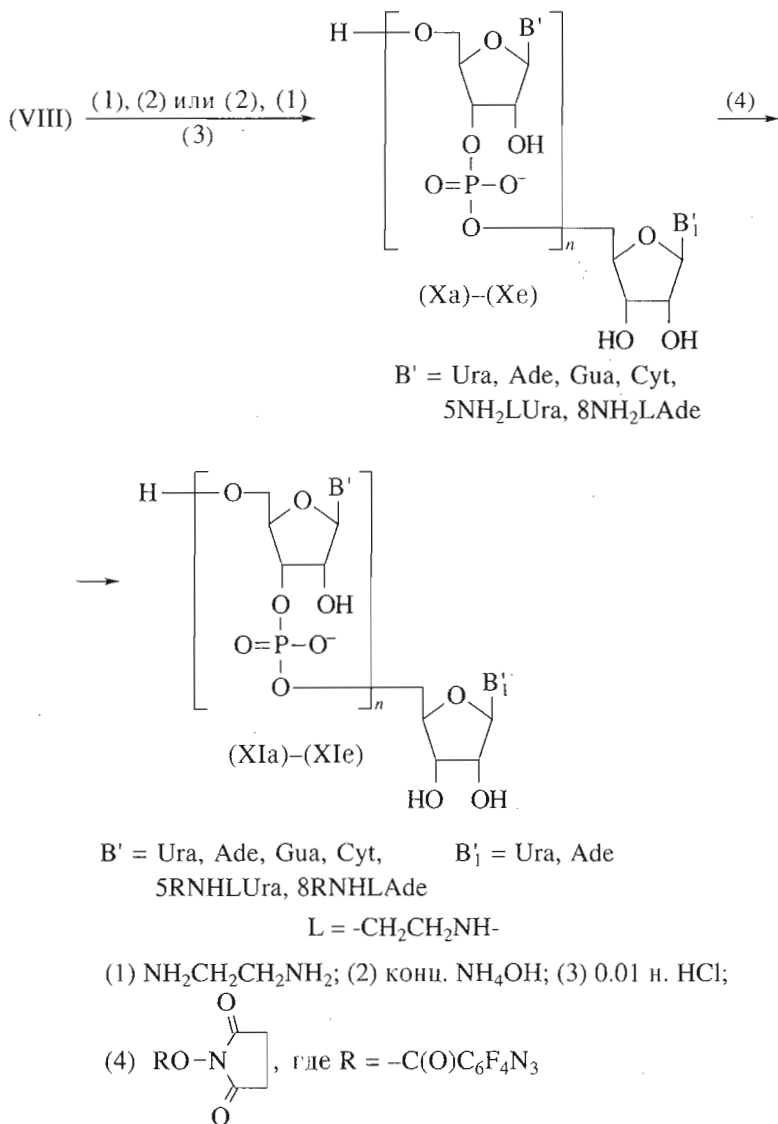


Схема 3.

гидролизатов ОФХ с использованием значений молярных коэффициентов поглощения специально синтезированных нуклеозидов-маркеров (табл. 2).

Использование различных алифатических дигиаминов в рамках данного подхода позволяет получать из одного бромсодержащего олигонуклеотида-предшественника семейство аминосодержащих олигонуклеотидов, отличающихся только строением введенного аминолинкера.

Наличие алифатической аминогруппы с высокой нуклеофильностью позволяет легко вводить в состав олигонуклеотида группировки различной химической природы. В данной работе это продемонстрировано на примере синтеза новых типов фотоактивируемых производных олигорибонуклеотидов. Ацилирование незащищенных аминоуридин- и аминоаденозинсодержащих олигорибонуклеотидов (Xa)-(Xe) N-оксисукцинимид-

ным эфиром *n*-азидотетрафторбензойной кислоты в водно-органической среде (pH 9) (схема 3) проходило за 1.5 ч на 60–80%. Все полученные соединения при оффЭЖХ элюировались буфером с более высокой концентрацией ацетонитрила по сравнению с соответствующим исходным аминосодержащим олигонуклеотидом, что свидетельствовало о присоединении гидрофобной группы. На рис. 2 в качестве примера приведены профили ВЭЖХ при выделении соответствующих производных октирибонуклеотида CpApGpCpUpCpCpA. Гомогенность синтезированных перфторарилазидных производных олигорибонуклеотидов (XIa)–(XIe) составляла, по данным аналитической ОФХ, 92–97%; их выходы и характеристики приведены в табл. 3.

Изучение комплексообразующих свойств синтезированных фотоактивируемых производных

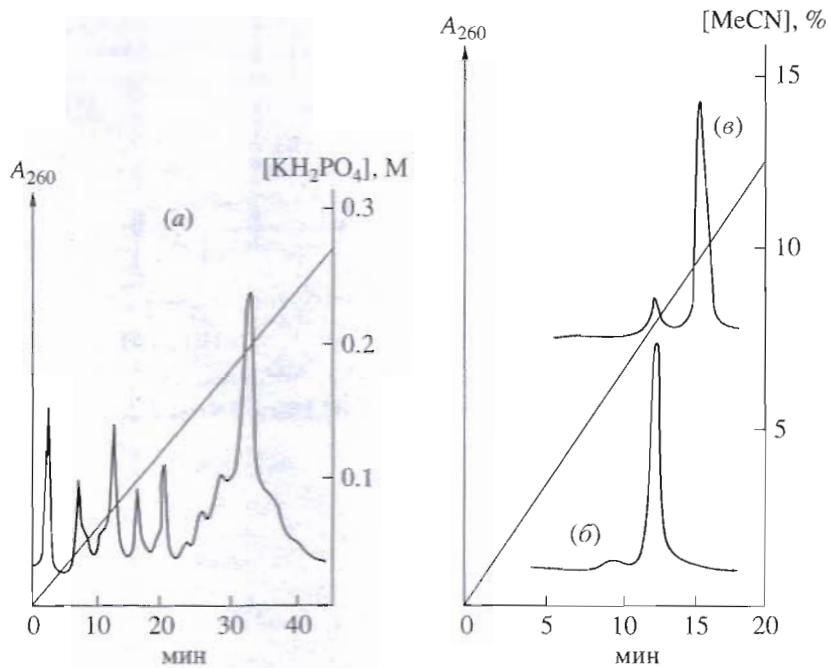


Рис. 2. Ионообменная ВЭЖХ реакционной смеси при синтезе $CpA^{LNH_2}pGpCpUpCpCpA$ (Хд) (а); обращенно-фазовая ВЭЖХ $CpA^{LNH_2}pGpCpUpCpCpA$ (Хд) (б) и $CpA^{LNH^R}pGpCpUpCpCpA$ (XIд) (в) (условия хроматографии см. "Эксперимент. часть").

олигорибонуклеотидов и их применение для сайт-специфической фотомодификации НК предмет наших дальнейших исследований.

ЭКСПЕРИМЕНТАЛЬНАЯ ЧАСТЬ

В работе были использованы рибонуклеозиды (Reanal, Венгрия), пивалоилхлорид, дихлоруксусная кислота, 1,3-дихлор-1,1,3,3-тетраизопропил-1,3-дисилоксан, диэтилпирокарбонат, 3,4-дигидро-2Н-пиран, треххлористый фосфор (Fluka, Швейцария), этилендиамин (Merck, Германия), другие реагенты и растворители квалификации "х. ч." и "ос. ч." отечественного производства. Салицилхлорфосфит получали по методике [31]. *N*-Оксисукцинimidный эфир *n*-азидотетрафторбензойной кислоты синтезирован Т. А. Приходько как описано в работе [32]. 5'-*O*-Диметокситритил-2'-*O*-тетрагидропиридинил-*N*-ацилрибонуклеозиды и их 3'-*H*-фосфонаты синтезировали по описанным методикам [28].

Для ТСХ использовали пластинки DC-Alufolien Kieselgel 60 F₂₅₄ (Merck, ФРГ) и системы растворителей: этанол–хлороформ, 1 : 9 (А); этанол–хлороформ, 0.5 : 9.5 (Б); этанол–хлороформ, 0.1 : 9.9 (В); этанол–хлороформ, 3 : 7 (Г); этанол–хлороформ–триэтиламин, 4 : 5.9 : 0.1 (Д). Колоночную адсорбционную хроматографию проводили на Silica gel 60 (230–400 меш) (Fluka, Швейцария).

Для ионообменной хроматографии использовали Dowex 50W × 2 (200–400 меш) (Serva, Германия).

Для определения нуклеозидного состава олигонуклеотидов применяли нуклеазу Р1 *Penicillium citrinum* (КФ 3.1.30.1) (Sigma, США) и щелочную фосфатазу *E. coli* (КФ 3.1.3.1) (НПО "Биолар", Латвия).

В качестве полимерного носителя для твердофазного синтеза использовали аминопропилированное макропористое стекло МПС-700 (НПФ "Теор. практика", Россия). Модификацию носителя и присоединение первого нуклеозидного звена проводили по [27]. Удельная емкость нуклеозидсвязанного носителя, измеренная по диметокситритильному катиону, составляла 40–56 мкмоль/г.

Препартивную ВЭЖХ деблокированных олигонуклеотидов и их производных осуществляли на хроматографе Waters (США), используя для ионообменной хроматографии колонку (4.6 × 250 мм) с Полисил-СА (НПФ "Теор. практика", Россия), элюирование проводили в градиенте концентрации KH_2PO_4 (0–0.3 М, pH 6.5) в 30% ацетонитриле за 50 мин; скорость 2 мл/мин. Для ОФХ использовали колонку (4.6 × 250 мм) с LiChrosorb RP-18 (Merck, Германия) и градиент концентрации ацетонитрила (0–20%) в 0.05 М растворе $LiClO_4$ за 30 мин; скорость элюции 2 мл/мин. Выделение олигонуклеотидов в форме литиевой соли осуще-

ствляли путем осаждения из водного раствора в 2% раствор LiClO₄ в ацетоне.

Аналитическую ОФХ проводили на хроматографе "Мирихром" (Россия), используя колонку (2 × 62 мм) с Nucleosil C-18 (5 мкм, Macherey-Nagel, Германия) в градиенте концентрации ацетонитрила (0–25%) в 0.05 M LiClO₄ (скорость потока 100 мкл/мин). Количественные хроматографические данные в режиме детекции на шести длинах волн со спектрофотометрического детектора хроматографа "Мирихром" были получены и обработаны с помощью IBM PC-486.

Молярные коэффициенты поглощения немодифицированных олигонуклеотидов при 260 нм рассчитывали по данным работы [33]. Молярные коэффициенты поглощения 8-[N-(4-азидо-2,3,5,6-тетрафторбензоил)-2-аминоэтил]аминоаденоцина или 5-[N-(4-азидо-2,3,5,6-тетрафторбензоил)-2-аминоэтил]аминоуридина считали равными сумме значений молярных коэффициентов поглощения, соответственно, 8-[N-(2-аминоэтил)]аминоаденоцина и 5-[N-(2-аминоэтил)]аминоуридина и величины 23200 M⁻¹ см⁻¹ для N₃C₆F₄CO-группы [34].

УФ-спектры соединений регистрировали на спектрофотометре Specord UV-VIS (Германия). Спектры ³¹P- и ¹H-ЯМР (81.015 и 200.132 МГц, соответственно) записывали на спектрометре WP-200 (Bruker, Германия). Химические сдвиги в ³¹P-ЯМР-спектрах приведены в миллионных долях относительно сигнала 85% ортоfosфорной кислоты (внешний стандарт). Спектры записывали с давлением спин-спинового взаимодействия ³¹P-¹H и без него. В качестве внутреннего стандарта в ¹H-ЯМР-спектрах использовали CDCl₃ (δ 7.24 м.д.).

5-Бромуридин (Ia) получали по методу [35] с выходом 65%. Аналитически чистый образец получали кристаллизацией из абс. этанола. Гомогенность 99% (ОФХ). Спектральные соотношения: 250/260 0.54; 270/260 1.60; 280/260 1.89; 290/260 1.52. УФ (H₂O), нм (ε, M⁻¹ см⁻¹): λ_{max}¹ 210 (9600); λ_{max}² 280 (9000); λ_{min} 243 (1900); λ 260 (4400) [36]; λ_{max} 279 (9600). Найдено, %: Br 24.8. C₉H₁₁N₂O₆Br. Вычислено, %: 24.7. ¹H-ЯМР (CDCl₃): 8.58 (1H, с, H6); 5.91 (1H, д, J 1 Гц, H1'); 4.21 (2H, м, J 1 Гц, H2', H3'); 4.06 (1H, ущ.с, H4'); 3.83 (2H, кв, H5').

5-Аминоуридин [36]. Суспензию 5-бромуридина (Ia) (0.6 г, 1.9 ммоль) в 5 мл абс. диметилформамида (DMF) добавляли к 5 мл жидкого аммиака и выдерживали 2 сут при комнатной температуре (контроль – ТСХ, система А). После дегазирования к реакционной смеси добавляли 100 мл эфира, выпавший осадок отделяли, сушили, добавляли к нему 5 мл абс. пиридина и отделяли нерасторвившийся остаток. К полученному раствору добавляли 100 мл эфира, выпавший осадок 5-аминоуридина отделяли, сушили и дважды переосаждали из раствора в метаноле в эфир. Выход 5-ами-

ноуридина 0.4 г (83%). Гомогенность 95% (ОФХ). Спектральные соотношения: 250/260 1.11; 270/260 1.36; 280/260 1.77; 290/260 1.90. УФ-спектр (H₂O), нм (ε, M⁻¹ см⁻¹): λ_{max}¹ 232; λ_{max}² 288; λ_{min} 258 ([36]; λ_{max} 294 (7400)). ¹H-ЯМР (D₂O): 7.27 (1H, с, H6); 5.88 (1H, д, J 1.5 Гц, H1'); 4.26–4.16 (2H, м, J 1 Гц, H2', H3'); 4.04 (1H, м, H4'); 3.80 (2H, м, H5').

5-[N-(2-Аминоэтил)]аминоуридин (по аналогии с [37]). К суспензии 5-бромуридина (Ia) (0.2 г, 0.6 ммоль) в 2 мл абс. метанола добавляли 1 мл (14.9 ммоль) EDA и перемешивали при комнатной температуре 1 ч (контроль – ТСХ, система Б). После окончания реакции реакционную смесь частично упаривали и к оставшемуся раствору добавляли 20 мл эфира. Образовавшийся маслообразный остаток несколько раз промывали эфиром для удаления избытка EDA, растворяли в 100 мл воды, доводили pH до 3 муравьиной кислотой, носили на колонку с дауэксом 50W × 2 в H⁺-форме (25 мл), промывали 300 мл воды и аминогородное уридина элюировали 1.5 н. конц. NH₄OH (300 мл). Раствор упаривали досуха, оставшееся масло растирали с эфиром до начала кристаллизации. Выход целевого соединения 0.075 г (40%). Гомогенность 93% (ОФХ). Спектральные соотношения: 250/260 1.51; 270/260 0.82; 280/260 1.03; 290/260 1.38. УФ (H₂O), нм (ε, M⁻¹ см⁻¹): λ_{max}¹ 238 (4000); λ_{max}² 300 (4900); λ_{min} 268 (2800); λ 260 (3000). Найдено, %: C 43.29; H 5.90; N 18.61. C₁₁H₁₈N₄O₆. Вычислено, %: C 43.40; H 6.00; N 18.50. ¹H-ЯМР ([²H]₂O): 7.15 (1H, с, H6); 6.05 (1H, д, J 1 Гц, H1'); 4.36 (2H, м, J 1 Гц, H2', H3'); 4.18 (1H, м, H4'); 3.93 (2H, м, H5'); 3.23 – 3.17 (метиленовые протоны фрагмента – NHCH₂CH₂NH₂).

2'-O-Тетрагидропиранил-5-бромуридин (IIIa) (по аналогии с [28]). 5-Бромуридин (Ia) (4.7 г, 14.5 ммоль) упаривали с абс. пиридином и добавляли 15 мл абс. пиридина и 5.3 мл (5.3 г, 17.4 ммоль) 1,3-дихлор-1,1,3,3-тетраизопропил-1,3-дисилоксан. Через 4 ч (контроль – ТСХ, система А) реакционную смесь упаривали до объема около 5 мл, добавляли 15 мл H₂O и экстрагировали хлороформом. Объединенные органические слои сушили Na₂SO₄ и упаривали. После хроматографии на силикагеле с использованием линейного градиента концентрации этанола в хлороформе (0–10%) выход 3',5'-O-(тетраизопропилдисилоксан-1,3-диил)-5-бромуридина (IIIa) составлял 8.0 г (97%). R_f 0.55 (A). Гомогенность 93% (ОФХ).

К раствору 8.0 г (14.1 ммоль) производного 5-бромуридина (IIIa) в 90 мл сухого хлороформа добавляли 0.3 г (1.8 ммоль) моногидрата *n*-толуолсульфокислоты, 6 мл (4.8 г, 66.1 ммоль) свежеперегнанного 3,4-дигидро-2*H*-пирана и выдерживали реакционную смесь 4 ч при комнатной температуре (контроль – ТСХ, система Б). К реакционной смеси добавляли 1.2 мл триэтиламина и 70 мл на-

сыщенного водного раствора NaHCO_3 , органический слой отделяли, водный слой экстрагировали хлороформом, объединенные органические слои сушили Na_2SO_4 . Маслообразный остаток 2'-*O*-тетрагидропиридин-3',5'-*O*-(тетраизопропилдисилоксан-1,3-диил)-5-бромуридина (*IIa*) после упаривания растворяли в 170 мл ацетонитрила, добавляли 16.7 г (79.4 ммоль) тетраэтиламмоний бромида и 16.7 мл 5 н. водного раствора KF и перемешивали реакционную смесь 1 ч при 60°C (контроль – TCX, система В). Далее реакционную смесь упаривали досуха и добавляли равные объемы воды и хлороформа. После экстракции вещество хроматографировали на силикагеле, используя для элюции линейный градиент концентрации этанола (0–5%) в хлороформе. Выход 2'-*O*-тетрагидропиридин-5-бромуридина (*IIa*) (в виде смеси двух диастереомеров) составлял 5.1 г (86% в расчете на исходный 5-бромуридин (*Ia*)). R_f 0.28 и 0.32 (В). В аналитических целях для получения чистых диастереомеров проводили повторную хроматографию на силикагеле. ^1H -ЯМР (менее хроматографически подвижный диастереомер), (CDCl_3): 8.54 (1H, с, H6); 6.07 (1H, д, J 1.0 Гц, H1'); 4.6 (1H, уш.с, ацетальный протон Thp); 4.31 (2H, м, J 1.0 Гц, H2',3'); 4.06 (1H, уш.с, H4'); 3.56 (2H, м, J 1.0 Гц, H5'); 1.55–1.74 (8H, м, CH_2 в Thp-группе).

5'-*O*-Диметокситритил-2'-*O*-тетрагидропиридин-5-бромуридин (*IVa*) синтезировали в стандартных условиях исходя из 5.0 г (12.3 ммоль) смеси диастереомеров 2'-*O*-тетрагидропиридин-5-бромуридина (*IIa*) и 5.5 г (14.8 ммоль) диметокситритилхлорида. После хроматографии на силикагеле с использованием линейного градиента концентрации этанола (0–5%) в хлороформе, содержащем 0.01% TEA, выход соединения (*IVa*) (в виде смеси двух диастереомеров) составлял 6.2 г (71%). R_f 0.39 и 0.43 (Б).

8-Бромаденозин (*Ib*) получали по [38]. Выход 0.9 г (70%). Гомогенность 95% (ОФХ). Спектральные соотношения: 250/260 0.63; 270/260 1.04; 280/260 0.57; 290/260 0.12. УФ (этанол), нм (ϵ , $M^{-1} \text{ см}^{-1}$): λ_{\max}^1 215 (18 400); λ_{\max}^2 265 (14 800); λ_{\min} 230 (3000). Найдено, %: C 34.51; H 3.53; N 20.0; Br 23.18. $\text{C}_{10}\text{H}_{12}\text{N}_5\text{O}_4\text{Br}$. Вычислено, %: C 34.7; H 3.49; N 20.23; Br 23.08.

8-Аминоаденозин получали по [39]. Выход 0.05 г (50%). Гомогенность 99% (ОФХ). Спектральные соотношения: 250/260 0.59; 270/260 1.21; 280/260 1.06; 290/260 0.42. УФ (H_2O), нм: λ_{\max}^1 210; λ_{\max}^2 271; λ_{\min} 231. ^1H -ЯМР (D_2O): 8.15 (1H, с, H2); 6.05 (1H, д, J 5 Гц, H1'); 4.82 (1H, м, H2' или H3'); 3.6 (2H, м, H5'); 4.35 (1H, м, H3' или H2').

8-[*N*-(2-Аминоэтил)]аминоаденозин получали по аналогии с [37]. 8-Бромаденозин (*Ib*) (1 г, 2.9 ммоль) суспендировали в 10 мл абс. этанола, добавляли 7 мл (6.3 г, 105 ммоль) EDA и нагревали при 85°C

в течение 1 ч. Контроль – TCX, система А. После охлаждения реакционную смесь упаривали до маслообразного остатка, промывали эфиром и сушили на воздухе. Остаток растворяли в 50 мл воды, доводили pH до 3 муравьиной кислотой, наносили на колонку с дауэксом 50W \times 2 в H^+ -форме (50 мл), промывали водой (0.5 л) и элюировали продукт 1.5 н. NH_4OH (2 \times 300 мл), амиачный раствор упаривали досуха. Продукт выделяли из остатка многократной обработкой последнего абс. пиридином, который затем упаривали до малого объема и добавляли 50 мл эфира. Осадок отделяли, следы пиридина удаляли упариванием с толуолом, остаток растворяли в метаноле и осаждали эфиром. Выход 8-[*N*-(2-аминоэтил)]аминоаденозина 0.4 г (50%). Т. пл. 157–160°C. Гомогенность 95% (ОФХ). Спектральные соотношения: 250/260 0.51; 270/260 1.38; 280/260 1.43; 290/260 0.86. УФ (H_2O), нм (ϵ , $M^{-1} \text{ см}^{-1}$): λ_{\max}^1 213 (26000); λ_{\max}^2 277 (15200); λ_{\min} 236 (3400); λ 260 (10000). Найдено, %: C 44.36; H 6.00; N 29.92. $\text{C}_{12}\text{H}_{19}\text{N}_7\text{O}_4$. Вычислено, %: C 44.30; H 5.89; N 30.12. ^1H -ЯМР (D_2O): 7.90 (1H, с, H2); 5.92 (1H, д, J 5 Гц, H1'); 4.34 (1H, м, H2' или H3'); 4.21 (1H, м, H3' или H2'); 3.85 (2H, с, H5'); 3.39, 2.84 (-NHCH₂CH₂NH₂).

2'-*O*-Тетрагидропиридин-*N*⁶-бензоил-8-бромаденозин (*IIIb*) в виде смеси двух диастереомеров синтезировали по методике работы [16]. После нескольких рехроматографий выход составлял 22% (в расчете на исходный (*Ib*))). R_f 0.24 и 0.27 (Б). Гомогенность 91% (ОФХ). Спектральные соотношения: 250/260 1.47; 270/260 0.71; 280/260 0.76; 290/260 1.12. УФ (этанол), нм (ϵ , $M^{-1} \text{ см}^{-1}$): λ_{\max}^1 300 (14000); λ_{\min} 270 (7000). ^1H -ЯМР (смесь диастереомеров) (CDCl_3): 8.95 (1H, с, NHCO); 8.61 (1H, с, H2); 7.98 (2H, м, COC₆H₅); 7.53 (3H, м, COC₆H₅); 6.00 (1H, д, J 5 Гц, H1'); 5.38 (1H, м, H2' или H3'); 4.53 (1H, м, H3' или H2'); 4.43 (1H, м, H4'); 4.28 (1H, с, ацетальный протон Thp); 3.85 (4H, м, OCH₂ в Thp-группе и H5'); 1.6 (6H, м, CH₂ в Thp-группе).

5'-*O*-Диметокситритил-2'-*O*-тетрагидропиридин-*N*⁶-бензоил-8-бромаденозин (*IVb*) синтезировали исходя из 1 г (1.9 ммоль) 2'-*O*-тетрагидропиридин-*N*⁶-бензоил-8-бромаденозина (*IIIb*) и 0.7 г (2.1 ммоль) диметокситритилхлорида [16]. После хроматографии на силикагеле выход соединения (*IVb*) (в виде смеси двух диастереомеров) составлял 1.4 г (93%). R_f 0.52 и 0.54 (Б).

8-Бромгуанозин (*Iv*) получали по методу [40] с выходом 72%. $T_{\text{разл}}$ 200–205°C. Гомогенность 93% (ОФХ). Спектральные соотношения: 250/260 0.81; 270/260 0.90; 280/260 0.72; 290/260 0.41. УФ (H_2O), нм (ϵ , $M^{-1} \text{ см}^{-1}$): λ_{\max}^1 262 (15600); λ_{\min} 226 (3800); λ 260 (15300). Найдено, %: Br 21.45. Вычислено, %: Br 22.00. ^1H -ЯМР ($\text{DMSO}-d_6$): 10.89 (1H, уш.с, NH); 6.53 (2H, уш.с, NH₂); 5.68 (1H, д,

J 1.5 Гц, H1'); 5.50 (1Н, уш.с, H2'); 5.17–4.99 (2Н, м, 3'- и 5'-ОН); 4.14 (1Н, м, H3'); 3.87 (1Н, м, H4').

2'-O-Тетрагидропиридин-N²-изобутирил-8-бромгуанозин (Шв) получали по аналогии с [28]. 8-Бромгуанозин (Ів) (1.5 г, 4.1 ммоль) растворяли в 25 мл абс. пиридина и при интенсивном перемешивании и охлаждении добавляли 4.1 мл (3.5 г, 50.6 ммоль) триметилхлорсилана. Через 15 мин к реакционной смеси добавляли 1.4 мл (1.4 г, 13.4 ммоль) изобутирилхлорида. Перемешивание продолжали 2 ч при комнатной температуре (контроль – ТСХ, система А). В реакционную смесь добавляли 100 мл воды со льдом, нейтрализовали водным аммиаком и продукт экстрагировали хлороформом (15 мл × 4). Растворитель упаривали до суха, оставшееся масло растворяли в 10 мл хлороформа и экстрагировали водой (15 мл × 5). Водный раствор охлаждали, отделяли выпавший осадок N²-изобутирил-8-бромгуанозина, сушили до постоянного веса (1.1 г, 62%) и использовали далее в синтезе без дополнительной очистки.

N²-Изобутирил-8-бромгуанозин (0.4 г, 0.9 ммоль) упаривали с абс. пиридином (3 × 3 мл), добавляли 3 мл абс. пиридина и 0.3 мл (1.0 ммоль) 1,3-дихлор-1,1,3,3-тетраизопропил-1,3-дисилоксана. Через 6 ч (контроль – ТСХ, система А) реакционную смесь упаривали до малого объема, добавляли 1 мл воды и экстрагировали хлороформом. После хроматографии на силикагеле выход 3',5'-O-(тетраизопропилдисилоксан-1,3-диил)-N²-изобутирил-8-бромгуанозина (Шв) составлял 0.5 г (83%). R_f 0.75 (А).

К раствору 0.5 г (0.7 ммоль) соединения (Шв) в 3 мл сухого хлороформа добавляли 0.8 г (3.3 ммоль) пиридиниевой соли *n*-толуолсульфокислоты и 1.2 мл (13.2 ммоль) свежеперегнанного 3,4-дигидро-2Н-пирана и выдерживали реакционную смесь 48 ч при комнатной температуре (контроль – ТСХ, система Б). Дальнейшую обработку и хроматографию проводили аналогично описанному для соединения (Ша). Выход 2'-O-тетрагидропиридин-N²-изобутирил-8-бромгуанозина (Шв) (в виде смеси двух диастереомеров) составлял 0.5 г (65% в расчете на исходный (Ів)). R_f 0.38 и 0.42 (В). В аналитических целях для получения чистых диастереомеров (Шв) проводили повторную хроматографию. Найдено, %: С 43.97; Н 5.17; N 13.48; Br 14.8. C₁₉H₂₆N₅O₇Br. Вычислено, %: С 44.2; Н 5.1; N 13.5; Br 15.4. ¹Н-ЯМР (более хроматографически подвижный диастереомер), (²H₄]метанол): 6.13 (1Н, д, J 1.0 Гц, H1'); 5.22 (1Н, т, H2'); 4.62–4.69 (2Н, м, J 1.0 Гц, H3',4'); 3.88 (2Н, м, H5'); 3.26 (1Н, м, ацетальный протон Thp); 2.8 (1Н, м, CH, Ibu); 1.49–1.76 (8Н, м, CH₂ в Thp-группе); 1.26 (6Н, д, CH₃).

5'-O-Диметокситритил-2'-O-тетрагидропиридин-N²-изобутирил-8-бромгуанозин (IVв) синтезировали в стандартных условиях исходя из 0.4 г (0.8 ммоль) 2'-O-тетрагидропиридин-N²-изобутирил-8-бромгуанозина (Шв) и 0.3 г (1.0 ммоль) диметокситритилхлорида. После хроматографии на

силикагеле выход соединения (IVв) (в виде смеси двух диастереомеров) составлял 0.3 г (48%). R_f 0.42 и 0.46 (Б).

Бромсодержащие защищенные рибонуклеозид-3'-Н-фосфонаты (Va)–(Vb) синтезировали исходя из смеси диастереомеров 5'-O-диметокситритил-2'-O-тетрагидропиридин-N-ацил-бромсодержащих рибонуклеозидов и салицилхлорfosфита по аналогии с [29].

5'-O-Диметокситритил-2'-O-тетрагидропиридин-5'-бромуридин-3'-Н-фосфонат (Va). Выход 82%. R_f 0.40 (Д). ³¹P-ЯМР (Ру: CH₃CN): 1.9; 2.1 ($J_{P, H}$ 610 Гц).

5'-O-Диметокситритил-2'-O-тетрагидропиридин-N⁶-бензоил-8-бромаденозин-3'-Н-фосфонат (Vb). Выход 83%. R_f 0.30 (Д). ³¹P-ЯМР (Ру: CH₃CN): 2.0; 2.2 ($J_{P, H}$ 610 Гц) [16].

5'-O-Диметокситритил-2'-O-тетрагидропиридин-N²-изобутирил-8-бромгуанозин-3'-Н-фосфонат (Vb). Выход 92%. R_f 0.30 (Д). ³¹P-ЯМР (Ру: CH₃CN): 1.9; 2.0 ($J_{P, H}$ 610 Гц).

Поведение рибонуклеозидов в модельных условиях. Стабильность бромсодержащих рибонуклеозидов (Іа)–(Ів) в конц. NH₄OH проверяли, выдерживая их 16 ч при 56°C или 3 сут при комнатной температуре, упаривали досуха, растворяли в воде и анализировали методом ОФХ (рис. 1).

Взаимодействие бромсодержащих нуклеозидов с этилендиамином. 1). 5-Бромуридин (Іа) или 8-бромаденозин (Ів) растворяли в смеси EDA-этанол (1 : 1) и выдерживали при 37 или 56°C. Через каждые 30 мин после начала реакции из реакционной смеси отбирали аликовту, разбавляли водой, нейтрализовали уксусной кислотой и анализировали ОФХ.

2). 5-Бромуридин (Іа) или 8-бромаденозин (Ів) выдерживали в смеси EDA-этанол (1 : 1) 4 ч при 37°C или 2 ч при 56°C соответственно. К реакционной смеси добавляли избыток конц. NH₄OH, выдерживали 3 сут при комнатной температуре, упаривали несколько раз с этанолом, растворяли в воде, нейтрализовали уксусной кислотой и анализировали ОФХ.

Взаимодействие N-ацилрибонуклеозидов с этилендиамином и конц. NH₄OH. 1). N-Ацилрибонуклеозиды (N⁴-бензоилцитидин, N⁶-бензоиладенозин, N²-изобутирилгуанозин) обрабатывали смесью EDA-этанол (1 : 1) 2 ч при 56°C, разбавляли водой, нейтрализовали уксусной кислотой и анализировали ОФХ.

2). Цитидин обрабатывали EDA и анализировали как описано выше.

3). N-Ацилрибонуклеозиды выдерживали в конц. NH₄OH 3 сут при комнатной температуре, упаривали, растворяли в воде и анализировали ТСХ (система Г).

Бромсодержащие олигорибонуклеотиды синтезировали в колонке с пористым фильтром в

масштабе 2–5 мкмоль полимерсвязанного первого нуклеозида, используя в качестве синтонов наряду со стандартными защищенными рибонуклеозид-3'-*H*-фосфонатами модифицированные синтоны (Va)–(Vb) (протокол операций см. табл. 1). Полимерсвязанный защищенный бромсодержащий олигорибонуклеотид выдерживали с конц. NH_4OH 3 сут при комнатной температуре и упаривали. Удаление 2'-*O*-тетрагидропирианильных групп и хроматографическое выделение бромсодержащих олигомеров проводили в стандартных условиях [27]. Выходы и характеристики бромсодержащих олигонуклеотидов (IXa)–(IXe) приведены в табл. 2.

Олигорибонуклеотиды, содержащие алифатическую аминогруппу в гетероцикле (Xa)–(Xe). Защищенный бромсодержащий олигорибонуклеотид, присоединенный к полимерному носителю, полученный в соответствии с приведенным в табл. 1 протоколом операций, обрабатывали в условиях (а) или (б):

а) выдерживали 4 ч в 200 мкл смеси EDA–этанол (1 : 1) при 37°C для 5-бромуридинсодержащих олигорибонуклеотидов или 2 ч при 56°C для 8-бромаденозинсодержащих олигомеров и проводили обработку избыtkом конц. NH_4OH 3 сут при комнатной температуре. Раствор декантавали, полимер промывали водным этанолом и водой, объединенные супернатанты упаривали досуха, остаток растворяли в воде, нейтрализовали 0.2 н. HCl, обессоливали на Sep-Pak C18 Cartridge (Millipore, США), промывая сначала водой, затем 50% водным ацетонитрилом и упаривали;

б) выдерживали с конц. NH_4OH 3 сут при комнатной температуре, раствор декантавали, полимер промывали водным этанолом и водой, упаривали досуха. К остатку добавляли 200 мкл смеси EDA–этанол (1 : 1) и выдерживали в условиях, приведенных в (а). Реакционную смесь упаривали несколько раз с добавлением этанола, остаток растворяли в воде, нейтрализовали 0.2 н. HCl и проводили обессоливание.

Удаление 2'-*O*-тетрагидропирианильных групп и хроматографическое выделение модифицированных олигорибонуклеотидов проводили в стандартных условиях [27].

Выходы и характеристики модифицированных олигонуклеотидов (Xa)–(Xe) приведены в табл. 2.

Анализ нуклеозидного состава олигорибонуклеотидов. а) К 0.5 ОЕ₂₆₀ олигонуклеотида в 22 мкл воды добавляли 3 мкл буфера (0.03 М NaOAc, 1 mM ZnSO₄, pH 5.2) и 5 мкл нуклеазы P1 в 0.03 М NaOAc (pH 5.2) и выдерживали 4 ч при 37°C, прогревали 2 мин при 100°C и анализировали методом ОФХ; б) 0.5 ОЕ₂₆₀ олигонуклеотида выдерживали с нуклеазой P1 как описано выше, затем добавляли 1–2 мкл 1% NaOH до pH 8.5, 0.1 мг щелочной фосфатазы и выдерживали 4 ч при 37°C,

прогревали 2 мин при 100°C и анализировали методом ОФХ.

Олигорибонуклеотиды, содержащие *n*-азидотетрафторбензамидную группу в гетероциклическом основании (XIa)–(XIe) ([16]). К раствору 2–5 ОЕ₂₆₀ аминосодержащего олигонуклеотида в 20 мкл смеси воды и DMF (1 : 1) (pH 9) через каждые 30 мин добавляли порциями по 10, 5 и 5 мкл раствора *N*-оксисукцинимидного эфира *n*-азидотетрафторбензамидной кислоты (1.8 мг, 6 мкмоль) в 20 мкл DMF. Через 30 мин после последнего добавления реагента к реакционной смеси добавляли 2% раствор LiClO₄ в ацетоне, осадок центрифугировали и промывали ацетоном. Продукт выделяли обращенно-фазовой ВЭЖХ. Гомогенность выделенных модифицированных олигонуклеотидов 92–97% (ОФХ). Выходы и характеристики олигорибонуклеотидов (XIa)–(XIe), содержащих *n*-азидотетрафторбензамидную группу в гетероциклическом основании, приведены в табл. 3.

Работа выполнялась при поддержке РФФИ (грант № 96-04-50189) и гранта Министерства образования РФ “Фундаментальные исследования в области химических технологий”.

СПИСОК ЛИТЕРАТУРЫ

1. Репкова М.Н., Иванова Т.М., Мещанинова М.И., Веняминова А.Г. // Биоорган. химия. 1998. Т. 24. С. 471–473.
2. Knorre D.G., Vlassov V.V., Zarytova V.F., Lebedev A.V., Fedorova O.S. Design and Targeted Reactions of Oligonucleotide Derivatives. Boca Raton; Ann Arbor; London; Tokyo: CRC Press, 1994.
3. Sylvers L.A., Wower J. // Bioconjugate Chem. 1993. V. 4. P. 411–419.
4. Шефлян Г.Я., Кубарева Е.А., Громова Е.С. // Успехи химии. 1996. Т. 65. С. 765–781.
5. Добриков М.И., Зарытова В.Ф., Комарова Н.И., Левина А.С., Лохов С.Г., Приходько Т.А., Шишкин Г.В., Табатадзе Д.Р., Заалишивили М.М. // Биоорган. химия. 1992. Т. 18. С. 540–549.
6. Levina A.S., Berezovsky M.V., Venyaminova A.G., Repkova M.N., Zarytova V.F. // Biochimie. 1993. V. 75. P. 25–27.
7. Levina A.S., Tabatadze D.R., Dobrikov M.I., Shishkin G.V., Khalimskaya L.M., Zarytova V.F. // Antisense Nucl. Acids Drug Dev. 1996. V. 6. P. 119–132.
8. Добриков М.И., Гайдамаков С.А., Кошкин А.А., Власов В.В. // Докл. РАН. 1996. Т. 351. С. 687–691.
9. Добриков М.И., Гайдамаков С.А., Кошкин А.А., Лукъянчук Н.П., Шишкин Г.В., Власов В.В. // Биоорган. химия. 1997. Т. 23. С. 553–560.
10. Табатадзе Д.Р., Третьякова Л.В., Левина А.С., Пышный Д.В., Иванова Е.М., Зарытова В.Ф. // Биоорган. химия. 1997. Т. 23. С. 642–647.
11. Коваль В.В., Максакова Г.А., Федорова О.С. // Биоорган. химия. 1997. Т. 23. С. 266–272.
12. Кобец Н.Д., Горожанкин А.В., Годовикова Т.С., Сильников В.Н., Кнорре Д.Г. // Докл. РАН. 1996. Т. 349. С. 822–825.

13. Lavrik O.I., Nashener H.-P., Weisshart K., Wold M.S., Prasad R., Beard W.A., Wilson S.H., Favre A. // Nucl. Acids Res. 1998. V. 26. P. 602–607.
14. Малыгин А.А., Васенева О.Г., Веньяминова А.Г., Репкова М.Н., Карпова Г.Г. // Молекулярн. биология. 1998. Т. 32. С. 452–459.
15. Venyaminova A.G., Repkova M.N., Ivanova T.M., Dobrikov M.I., Bulygin K.N., Graifer D.M., Karpova G.G., Zarytova V.F. // Nucleosides Nucleotides. 1995. V. 14. P. 1069–1072.
16. Repkova M.N., Ivanova T.M., Филиппов Р.В., Веньяминова А.Г. // Биоорганическая химия. 1996. Т. 22. С. 432–440.
17. Repkova M.N., Venyaminova A.G., Zarytova V.F. // Nucleosides Nucleotides. 1997. V. 16. P. 1797–1798.
18. Bulygin K.N., Graifer D.M., Repkova M.N., Smolen-skaya I.A., Venyaminova A.G., Karpova G.G. // RNA. 1997. V. 3. P. 1480–1485.
19. Смоленская И.А., Булыгин К.Н., Грайфер Д.М., Иванов А.В., Веньяминова А.Г., Репкова М.Н., Карпова Г.Г. // Молекулярн. биология. 1998. Т. 32. С. 233–241.
20. MacMillan M., Verdine G.L. // Tetrahedron. 1991. V. 47. P. 2603–2616.
21. Allerson C.R., Chen S.L., Verdine G.L. // J. Am. Chem. Soc. 1997. V. 119. P. 7423–7433.
22. Ferrer E., Fàbrega C., Garsia R.G., Azorín F., Eritja R. // Nucleosides Nucleotides. 1996. V. 15. P. 907–921.
23. Ferrer E., Wiersma M., Kazimierczak B., Moller C.W., Eritja R. // Bioconjugate Chem. 1997. V. 8. P. 757–761.
24. Liu J., Verdine G.L. // Tetrahedron Lett. 1992. V. 33. P. 4265–4268.
25. Talbot S.J., Goodman S., Bates S.R.E., Fishwick C.W.G., Stockley P.G. // Nucl. Acids Res. 1990. V. 18. P. 3521–3528.
26. Shah K., Wu H., Rana T.M. // Bioconjugate Chem. 1994. V. 5. P. 508–512.
27. Веньяминова А.Г., Горн В.В., Зенкова М.А., Комарова Н.И., Репкова М.Н. // Биоорганическая химия. 1990. Т. 16. С. 941–950.
28. Markiewicz W.T., Biala E., Kierzak R. // Bull. Pol. Acad. Sci. Chem. 1984. V. 32. P. 433–451.
29. Веньяминова А.Г., Комарова Н.И., Левина А.С., Репкова М.Н. // Биоорганическая химия. 1988. Т. 14. С. 484–489.
30. Usman N., Cedergren R. // Trends Biochem. Sci. 1992. V. 17. P. 334–339.
31. Anschutz R., Emery W.O. // Ann. 1887. V. 239. P. 301–313.
32. Добриков М.И., Приходько Т.А., Сафронов И.В., Шишкин Г.В. // Сибирский химический журнал. 1992. Вып. 2. С. 18–24.
33. Borer P.N. // Handbook of Biochemistry and Molecular Biology. V. 1 / Ed. G.D. Fasman. Cleveland: CRC Press, 1975. P. 589.
34. Wlassoff W.A., Dobrikov M.I., Safronov I.V., Dudko R.Y., Bogachev V.S., Kandaurova V.V., Shishkin G.V., Dymshits G.M., Lavrik O.I. // Bioconjugate Chem. 1995. V. 6. P. 352–360.
35. Fukuhara T.K., Visser D.W. // J. Biol. Chem. 1951. V. 190. P. 95–98.
36. Roberts M., Visser D. W. // J. Am. Chem. Soc. 1952. V. 74. P. 668–669.
37. Sarfati S.R., Pochet S., Guerreiro C., Namane A., Huynh-Dinh T., Igolen J. // Tetrahedron. 1987. V. 43. P. 3491–3497.
38. Ikebara M., Kaneko M. // Tetrahedron. 1970. V. 26. P. 4251–4259.
39. Holmes R.E., Robins R.K. // J. Am. Chem. Soc. 1965. V. 87. P. 1772–1776.
40. Long R.A., Robins B.K. // Synthetic Procedures in Nucleic Acid Chemistry. V. 1 / Eds W.W. Zorbach, R.S. Tipson. New York; London; Sydney; Toronto: Interscience Publishers, 1968. P. 228–229.

H-Phosphonate Synthesis of Oligoribonucleotides Containing Modified Bases. I. Photoactivatable Derivatives of Oligoribonucleotides with Perfluoroarylazide Groups in Heterocyclic Bases

M. N. Repkova*, T. M. Ivanova*, N. I. Komarova*, M. I. Meshchaninova**,
M. A. Kuznetsova**, and A.G. Venyaminova*#

*Novosibirsk Institute of Bioorganic Chemistry, Siberian Division, Russian Academy of Sciences,
pr. Acad. Lavrentieva 8, Novosibirsk, 630090 Russia

**Novosibirsk State University, Novosibirsk, Russia

H-phosphonate synthesis was proposed for oligoribonucleotides containing a bromine atom or an ethylenediamine linker at positions C5 or C8 of uridine or adenine, respectively. Novel photoactivatable derivatives of oligoribonucleotides harboring a *p*-azidotetrafluorobenzoyl group attached to uridine or adenine through the diamino linker were synthesized.

Key words: adenine C8-modified; amino linker; *H*-phosphonate method; photoactive oligoribonucleotides; uridine C5-modified

To whom correspondence should be addressed; phone: +7 (383-2) 396275, fax: +7 (383-2) 333677,
e-mail: ven@niboch.nsc.ru.